

HCrY-제올라이트 觸媒의 活性 및 非活性化에 미치는 助觸媒의 役割

宋起鎬·李鎬仁

서울大学校 工科大学 工業化学科
(1984년 3월 27일 접수, 1984년 5월 15일 채택)

The Roles of Promoter on the Activity and the Deactivation of HCrY-Zeolite Catalysts

Kee-Ho Sohng and Ho-In Lee

Department of Chemical Technology, College of Engineering,
Seoul National University, Seoul 151, Korea
(Received 27 March 1984; accepted 15 May 1984)

要 約

에틸벤젠으로부터 사일렌으로의 氣相 異性質化 反應에 依하여 HCrY-제올라이트 觸媒에 미치는 助觸媒의 役割을 研究하였다. 觸媒의 活性을 增加시키고 觸媒의 非活性化를 일으키는 코오크生成速度를 減少시키기 为하여, 助觸媒로서, 알칼리 金屬(리튬, 나트륨 및 칼륨)과 알칼리 土類 金屬(마그네슘, 칼슘 및 스트론튬) 中 한개를 抨하여 Pt 0.5wt%와 BF₃ 1.07wt%를 含有하는 HCrY-제올라이트에 添加하였다. 実験은 反應溫度 420°C, 反應壓力 18atm, 水素/에틸벤젠의 몰比 5.9와 液體空間速度(LHSV) 1.62gr-feed/hr.gr-cat에서 行하였다. 마그네슘을 助觸媒로 添加한 觸媒가 最大的 全體 轉化率과 最小의 크래킹에 對한 選択性를 보였으며, HCrMgY-6 mole% Mg-제올라이트를 使用하여 27%의 異性質化 收率을 얻었다. HCrMgY-제올라이트 觸媒에서 主成分인 Cr을 먼저 담지시키고 Mg을 나중에 담지시키는 方法이 가장 좋은 觸媒의 活性을 보였으며, Mg을 먼저 담지시키고 Cr을 나중에 담지시키는 方法과 Cr과 Mg을 同時에 담지시키는 方法은 낮은 活性을 보였다. 結果는 助觸媒 添加에 따른 分極能力의 变化에 起因된 觸媒의 酸度 变化로 說明되었다.

Abstract—The roles of promoter in HCrY-zeolite catalysts have been studied in the vapor phase isomerization of ethylbenzene to xylene. As a promoter, one of alkali metals (lithium, sodium and potassium) or one of alkaline earth metals (magnesium, calcium and strontium) was added to an HCrY-zeolite catalyst containing Pt 0.5wt% and BF₃ 1.07wt% in order to increase the catalytic activity and to decrease the rate of coke deposition which causes catalytic deactivation. The experiments were carried out at 420°C of reaction temperature, 18atm of reaction pressure, 5.9 of H₂/ethylbenzene mole ratio, and 1.62gr-feed/hr.gr-cat of LHSV (Liquid Weight Hourly Space Velocity). For the magnesium-promoted HCrY-zeolite catalysts, total conversion exhibited a maximum and selectivity for cracking a minimum. The yield of 27% for isomerization was obtained using HCrMgY-6mole% Mg-zeolite. For the HCrMgY-zeolite, the best catalytic activity was shown with the ion-exchanged order of Cr and then Mg, but not with Mg and then Cr nor simultaneous exchange. The results were explained in terms of the change in catalytic acidity due to the change of polarizing power caused by the addition of promoters.

1. 序論

사일렌은 初期에 自動車 燃料나 溶剂로서 使用되다가 1950年 以後 精密化学工業에서의 커다란 工業的 價值 때문에 生產이 急增하고 있으며 그 中에서도 p-사일렌은 精密化學工業의 主要原料로서 특히 폴리에스터 섬유와 필름 製造에 使用되는 테레프탈산의 原料로서 그 需要가 增大되고 있다[1]. 近來 까지 石油化學工業에서는 나프타를 接觸改質하여 얻은 混合사일렌을 蒸溜, 抽出 또는 吸着分離하여 o-, m-, p-사일렌을 生產하고 있는데 이 方法으로 얻는 混合사일렌에는 多量의 에틸벤젠이 含有되어 있고 심한 境遇 40%程度까지 含有되어 이를 除去해야 하는 短点이 있기 때문에 오늘날에는 에틸벤젠을 異性質化시켜 더 많은 사일렌을 얻으려는 研究가 試圖되고 있다[2, 3, 4]. 그러나 이러한 異性質化反應은 高溫高壓의 反應條件에서 施行되기 때문에 크래킹을 隨伴하여 觸媒를 심하게 非活性화시키는데, 이는 크래킹에 依한 炭素 附着物 또는 코오크에 그 原因이 있다. Shring等에 依하면 大部分의 不均一系 觸媒 炭化水素 転換工程에 있어서 코오크의 生成은 피할 수 없는 副產物이라고 하였다[5]. 따라서 現在에는 助觸媒를 添加하여 觸媒의 活性을 增加시키고, 코오크에 依한 非活性화를 減少시키는 方法이 研究되고 있다. Vankatachalam[6]은 脱水素化와 같은 炭化水素 転換에 使用되는 觸媒에 알칼리 또는 알칼리 土類 金屬이 添加되었을 때 코오크 附着이 減少되었다고 報告하였으며, Kelly와 Ternan은 Athabasca 產 濘青의 hydrocracking에 使用되는 낮은 濃度의 코발트와 몰리브덴을 갖는 CoO-MoO₃- γ -Al₂O₃ 觸媒에 리튬, 나트륨, 칼륨의 알칼리 金屬을 助觸媒로 添加했을 때 나트륨과 칼륨 助觸媒는 觸媒위의 코오크 生成量을 減少시켰으며 특히 少量의 리튬은 가장 좋은 結果를 나타내었다고 하였다[7]. 그리고 Maatman等은 크래킹 反應에

있어서 실리카-알루미나 觸媒에 알칼리 金屬을 添加하였을 때 크래킹 活性이 低下됨을 確認하였다[8]. 따라서 本 研究에서는 에틸벤젠을 氣相 異性質化시켜 사일렌을 얻는 反應에서, 主觸媒로 에틸벤젠의 異性質化反應에 活性이 큰 HCrY-제올라이트[9]를 選択하고, 助觸媒로 알칼리 및 알칼리 土類 金屬을 選択하여 添加하였을 때 HCrY-제올라이트 觸媒의 活性 增加와 非活性화 減少에 미치는 影響을 調査하였다. 또한 助觸媒의 담지順序와 담지量을變化시켜 異性質化收率에 미치는 影響을 研究하였다.

2. 実験

2-1. 觸媒의 選択 理論

Röbschläger와 Christoffel은 에틸벤젠 異性質化에 对한 2元機能性(bifunctional)反應 메카니즘에 对해 좀 더 確實하게 研究하였는데[10, 11] 그 内容은 다음과 같다. 弱한 酸性을 갖는 Pt/Al₂O₃ 觸媒에서는 白金活性点에서 에틸벤젠이 水素化되어 ethyl-cyclohexene을 生成시키고 觸媒 담체의 酸点에서 連續的인 tertiary carbocation의 構造 再排列이 일어나, 주로 ethylbenzene-ethylcyclohexene-1, 2-methylethylcyclopentene-1, 2-dimethylcyclohexene-o-xylene의 經路에 依하여 에틸벤젠으로부터 사일렌이 生成되며, 2元機能性的 Pt-제올라이트와 같이 좀 더 높은 酸性을 갖는 담체 觸媒에서는 附加의 secondary carbocation이 関聯된 構造 異性質化가 生成物 分布를 調整하는데 寄與한다고 하였으며, m-와 p-사일렌은 benzenium이온을 包含한 o-사일렌의 異性質化나 secondary carbonium이온을 包含한 naphthene의 異性質化에 依해 生成된다고 하였다. 그 反應經路가 Fig. 1에 보여진다. Christoffel과 Páal은 이를 더욱 確固히 했으며, Pt/제올라이트 觸媒中 제올라이트 담체는 ring closure活性이 없기 때문에 反應經路에

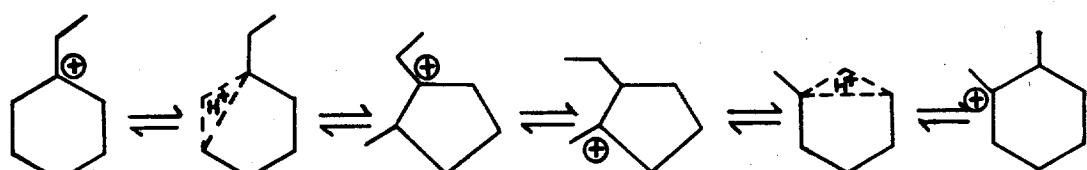


Fig. 1. A typical mechanism of ethylbenzene isomerization[10].

서律速段階는 白金活性点에서의 1, 5-와 1, 6-ring closure가 될 것이라고 하였다[12]. 그런데 화우자사이트型 세올라이트에서는 각각의 supercage가 4個의 同一한 四面体型으로 分布된 cavity 속으로 0.8~0.9nm直徑의 window를 거쳐 open되어있기 때문에 4個의 window中 하나 또는 2個가 막힐지라도 화우자사이트 結晶을 通한 分子拡散은 계속될 수 있는 長点이 있다. 그러나 화우자사이트 supercage系內에서 window를 通하여 拡散될 수 없는 너무 커다란分子가 生成될 境遇, 이 큰分子는 간단한 物理的 方法으로 除去될 수 없고 오직 C-C結合을 破壞하는 크래킹이나 酸化와 같은 化学的 方法으로 除去될 수 있다고 하였다[13]. 이와같은 事實을 考慮하여 異性質化 反應에 對하여 活성이 좋은 HCrY-세올라이트에 알칼리 金屬으로는 Li, Na 또는 K을, 알칼리 土類 金屬으로는 Mg, Ca 또는 Sr을 添加하였다. 또한 反應過程中的 水素化-脫水素化 反應을 為하여 最適含量의 0.5wt% Pt을 添加하고, tertiary carbonium이온 生成을 돋기 為해 最適含量의 1.07wt% BF₃를 담지시켰다[9].

2 - 2. 触媒의 製法

2 - 2 - 1. 触媒(1)~(6)의 製造

NaY-세올라이트를 10%-NH₄Cl溶液으로 여러 번 이온교환시킨 後 Cl이온이 檢出되지 않을 때까지 反復 洗滌하여 120°C로 3時間 乾燥시켜 各 金屬의 10%-nitrate 溶液으로 80°C에서 이온交換시킨 後 다시 洗滌하여 120°C로 3時間 乾燥시켰다. 0.5wt% Pt 및 1.07wt% BF₃를 위하여 該當量의 H₃PtCl₆·6H₂O와 HBF₄를 添加한 水溶液에서 3日間 放置한 후 물을 蒸發시킨 다음 120°C에서 3時間 다시 乾燥後 500°C에서 3時間 燃成시켰는데, Ward에 依하면 500°C 근처의 燃成溫度에서 세올라이트는 거의 완전한 Brönsted acid型이 된다고 하였다[14].

2 - 2 - 2. 触媒(7)~(12)의 製造

NaY-세올라이트를 10%-NH₄Cl溶液으로 이온交換하여 120°C로 3時間 乾燥後 0.1mole-Cr(NO₃)₃溶液으로 80°C에서 이온交換하여 乾燥한 後 다시 各 알칼리 및 알칼리 土類 金屬의 0.1mole-nitrate溶液으로 담지시켜 乾燥한 다음 Pt와 BF₃ 담지 過程 以後는 触媒(1)과 同一한 方法으로 行하였다.

Table 1에서 1:1의 標示는 主成分인 Cr과 各各의 助觸媒를 같은 濃度의 溶液에서 담지시켰음을 意味한다.

2 - 2 - 3. 触媒(13)~(14)의 製造

触媒(7)의 製造方法과 同一하나 触媒(13)은 Cr과 Mg을 同時に 담지시키고 触媒(14)는 Mg을 먼저 담지시킨 後 Cr을 담지시켰다.

2 - 2 - 4. 触媒(15)~(18)의 製造

触媒(10)과 同一한 方法으로 製造하였으나 크롬당지溶液의濃度에 對한 마그네슘 담지solution의濃度를 2, 4, 6, 8mole%로 變化시켜 만들었다.

2 - 3. 触媒의 物性分析

2 - 3 - 1. AA 分析

触媒를 알칼리 溶融하여 Sample로 만들어 Atomic Absorption & Flame Emission Spectrophotometer

Table 1. Composition and specific surface area of various catalysts.

| catalyst | composition | % ion exchanged | specific surface area (m ² /g) |
|----------|-------------------------|-----------------|---|
| 1 | HLiY-Zeolite | 12.44 | 372 |
| 2 | HNaY-Zeolite | 16.89 | 383 |
| 3 | HKY-Zeolite | 19.13 | 176 |
| 4 | HMgY-Zeolite | 33.70 | 354 |
| 5 | HCaY-Zeolite | 16.69 | 323 |
| 6 | HSrY-Zeolite | 20.09 | 370 |
| 7 | HCrLiY-Zeolite(1:1) | (1:2.1) | 168 |
| 8 | HCrNaY-Zeolite((1:1)) | (1:2.0) | 284 |
| 9 | HCrKY-Zeolite(1:1) | (1:1.8) | 131 |
| 10 | HCrMgY-Zeolite(1:1) | (1:0.7) | 346 |
| 11 | HCrCaY-Zeolite(1:1) | (1:1.1) | 311 |
| 12 | HCrSrY-Zeolite(1:1) | (1:1.3) | 202 |
| 13 | H(CrMg)Y-Zeolite(1:1) | (1:0.6) | 336 |
| 14 | HMgCrY-Zeolite(1:1) | (1:0.1) | 270 |
| 15 | HCrMgY-Zeolite(2mole%) | - | 265 |
| 16 | HCrMgY-Zeolite(4mole %) | - | 265 |
| 17 | HCrMgY-Zeolite(6mole %) | - | 249 |
| 18 | HCrMgY-Zeolite(8mole %) | - | 254 |

* All catalysts contain Pt 0.5wt%, BF₃ 1.07wt%.

(YANACO Model No. AA-780)로 分析하여, 実験에 使用된 모든 触媒中에 含有된 金屬의 담지量을決定하였다. 分析에 使用된 燃料는 아세틸렌이고, 酸化剤는 空氣를 使用하였으며, 이 分析으로決定된 이온交換%가 Table 1에 나타나 있으며 触媒(7)以下은 実際 담지比率를 나타낸 것이다.

2 - 3 - 2. 比表面積 決定

BET裝置(SHIMADZU Model-2100D)를 使用하여 BET法으로 比表面積을 決定하였으며 여기서 求한 各 触媒의 比表面積이 Table 1에 나타나 있다. 主成分과 助触媒의 담지順序에 따른 比表面積을 살펴보면 HCrMgY触媒가 H(CrMg)Y나 HMgCrY触媒보다 큰 比表面積을 나타내고 있는데, 이것은 Cr이 Mg보다 이온半徑이 작아 많은 量이 담지되었기 때문이며 HMgCrY触媒가 작은 것은 이온半徑이 큰 Mg이 먼저 담지됨으로서 細孔을 막는 比率이 커지기 때문인 것으로 생각된다.

2 - 4. 実験裝置 및 方法

本 実験에 使用된 実験裝置는 姜과 李[9]가 使用한 것과 비슷한 小型 高压 反応機와 附屬裝置로 이루어져 있으며 類似한 方法으로 実験을 行하였다.

2 - 5. 生成物의 分析方法

30分 間隔으로 포집된 液体 反応生成物을 氣体クロマトグラ프(YANACO Model G- 80)를 使用하여 定性, 定量分析하였으며 充填物質로는 bentone 34+dimethyl phthalate(5%)를 使用하였다. 또한 GC-MS를 利用하여 生成物의 定性分析을 確認하였다.

3. 実験結果 및 考察

3 - 1. 알칼리 및 알칼리 土類 金屬을 담지한 HY-제올라이트 触媒가 异性質化收率에 미치는 影響

알칼리 및 알칼리 土類 金屬을 담지한 触媒를 에틸벤젠의 异性質化 反応에 使用했을 때의 全體 転化率, 活性, 選択性가 Fig. 2-4에 각각 圖示되어 있다. 이 反応은 HCrY-제올라이트의 最適反応條件인 [9] 温度는 420°C, 壓力은 18atm, H₂/ethylbenzene 몰比는 5.9, LHSV는 1.62gr-feed/hr·gr-cat에서 行하였다. Fig. 2에서 보면 転化率이 HMgY

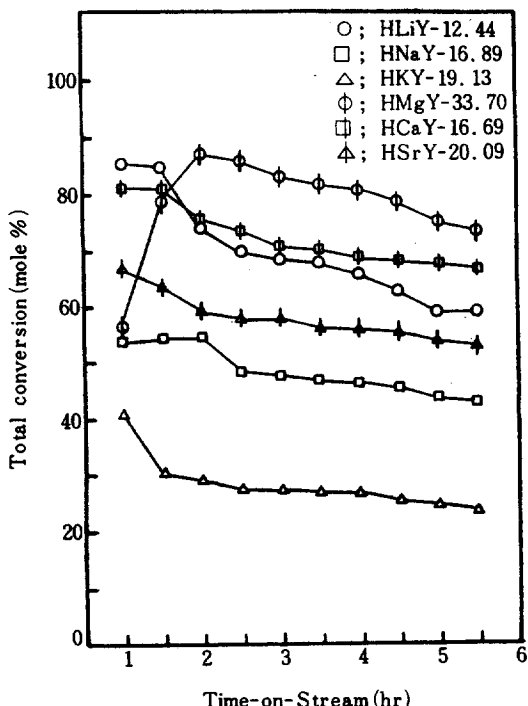


Fig. 2. Total conversion vs. time-on-stream on various catalysts.

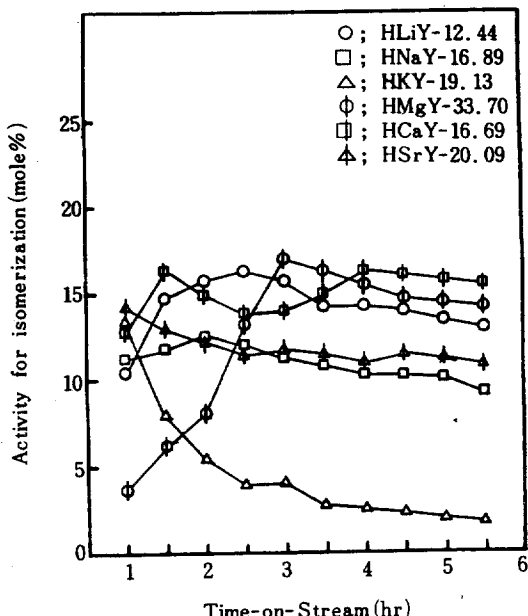


Fig. 3. Activity for isomerization vs. time-on-stream on various catalysts.

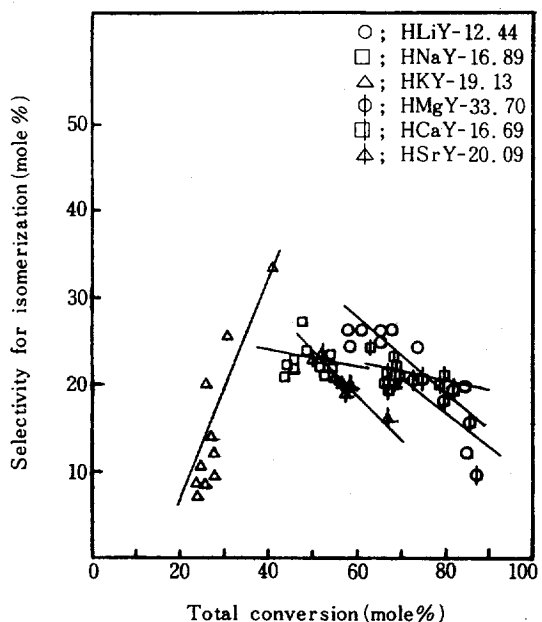


Fig. 4. Selectivity for isomerization vs. total conversion on various catalysts.

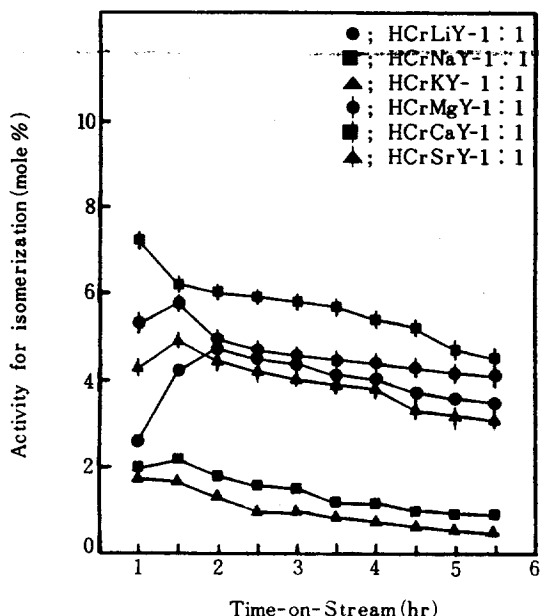
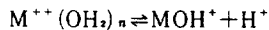


Fig. 5. Activity for isomerization vs. time-on-stream on various catalysts.

$> \text{HCrY} > \text{HCrLiY} > \text{HCrNaY} > \text{HCrCaY} > \text{HCrMgY} > \text{HCrSrY}$ 순서로 감소하는 경향을 나타내고 있으며, 각 환경의 최대값을 비교할 때 최대 활성화율은 HCrMgY 가 87%이고最小

활성화율은 HKY 로서 41%이다. HMgY 촉매가 초기 활성화율로부터 급격한 증가를 보이는 까닭은, 제올라이트 속에 알칼리 토류 금속을 담지시키므로因而 水酸基와 Brønsted酸이生成되어 이들간에 아래의平衡[15]이存在하기 때문으로 생각된다.



則, 높은 静電氣場과 分極能力을 갖는 작은 半徑의 陽이온은 平衡을 오른쪽으로 移動시키나 큰 半徑의 陽이온은 적은 解離를 일으키기 때문에 높은 이온 charge와 작은 이온半径을 갖는 Mg는 높은 分極能力을 갖게 되어 MgOH^+ 와 높은 Brønsted酸度를 나타내며, 이 때生成된 MgOH^+ 가 細孔內에서 Lewis酸形態의 MgO 로 分解되므로써 反應物의 吸着力이增加되어 轉化率의 增加를 보이는 것으로 생각된다. 그리고 全體의로 볼 때 알칼리 토류 금속이 알칼리 金屬보다 높은 轉化率을 보여주는 것은 Fig. 3에서 說明된다. Fig. 3은 여러 가지 촉매에 대하여 時間에 따른 異性質化活性을 보여주고 있는데, 全體 轉化率과 같은順序로 異性質化의活性이 減少하고 있고, HMgY 촉매가 反應時間 3時間에서 가장 좋은活性을 보이고 있다. 그리고 全體 轉化率에서처럼 알칼리 토류 금속이 알칼리 金屬보다 높은活性을 보이고 있는 것은, 알칼리 金屬 陽이온을 담지한 Y-제올라이트는 Lewis나 Brønsted酸度를 거의所有하지 않지만 알칼리 토류 金屬을 담지한 Y-제올라이트는 다른 多價 陽이온과 같이 제올라이트 내에 水酸基와 Brønsted酸을生成하기 때문인데, 이 Brønsted酸은 카르보늄 이온反應에 必須的인 것이며 本 実驗에서도 反應 메카니즘에 三次 카르보늄 이온이 関與하므로 Brønsted酸은 必要하다. 또한 生成된 酸性 水酸基도 역시 이 反應에 对한活性点으로 作用한다는 것이 알려져 있다[15, 16].

Fig. 4에는 여러 촉매에 대한 異性質化的 選択性가 나타나 있는데, HKY 촉매를 除外하고는 모든 촉매에 있어서 全體 轉化率이 增加할수록 異性質化를為한 選択性가 減少하고 있다. 則, 反應 時間이 右側에서 左側으로 進行됨에 따라 選択性가 增加하는 傾向을 나타내는데, 이것은 反應 初期에 크래킹에 依해 生成된 炭素 附着物이 크래킹에 毒性을 미치게 되어[18] 크래킹의 選択性가 減少하고, 따라서 相對的으로 異性質化的 選択性가 增加하기 때문으로

로 생각된다. 그런데 HKY触媒가 다른触媒와反対의傾向을 나타내는 것은, K이온의 몸시 낮은分極能力과 K이온 담지로因한 Brönsted酸度의減少 때문인 것으로 생각된다. 則, Ward에依하면陽이온의 이온半径이 작을수록分極ability은 커진다고 하였다[15]. 따라서本実験에使用된金屬이온中에 가장 큰 이온半径을 갖는 K이온은 가장 낮은分極ability을 갖게되어Brönsted酸度를 적게生成하게될 것이다. 또한 K이온을 실리카-알루미나에 담지하였을 때酸点을弱化시키고Brönsted酸度를除去하였다고 Basila[18]는報告하였다. 앞에서 밝힌 것처럼 Brönsted酸은 카르보늄이온反應에必須의인 것으로本反應에도必要하므로Brönsted酸이除去된다면異性質化反應이進行되기 어려우므로, 따라서相對적으로 많은未反應物의크래킹이 심하게 일어나기 때문에 이와같이反対의傾向을보이는 것으로 생각된다.

3-2. 알칼리 및 알칼리土類金屬을助觸媒로添加한 HCrY-제올라이트触媒가異性質化收率에 미치는影響

助觸媒를触媒의主成分인Cr과 같은比率로 담지시켜活性 및選択性의變化를觀察하였다. Fig. 5는異性質化의活性에미치는各觸媒의影響을보이는데, 그活性의順序가HCrCaY>HCrMgY>HCrSrY>HCrLiY>HCrNaY>HCrKY로나타나는것은, Fig. 3에서와同一하게説明된다. 그런데여기서HCrCaY가HCrMgY보다더좋은活性을보이고있다. BET裝置實験에依하면比表面積은HCrMgY가HCrCaY보다큰것으로나타나있으며, AA分析에依하면 담지量은Mg보다Ca이세울라이트에더많이담지되어있음을알수있다. 이로미루어볼때異性質化活性에미치는影響은比表面積보다 담지量이 더크게作用함을알수있는데,酸度의分布와酸点의세기는이온交換程度와存在하는陽이온의性質과熱處理에따라變한다고하였다[19]. Fig. 6에서크래킹의選択性에미치는各觸媒의影響을알아보면HCrNaY, HCrKY, HCrSrY가90%以上의높은크래킹의選択性를나타내고있는反面, HCrMgY, HCrCaY, HCrLiY는낮은크래킹의選択性를보이고있고그中에서도

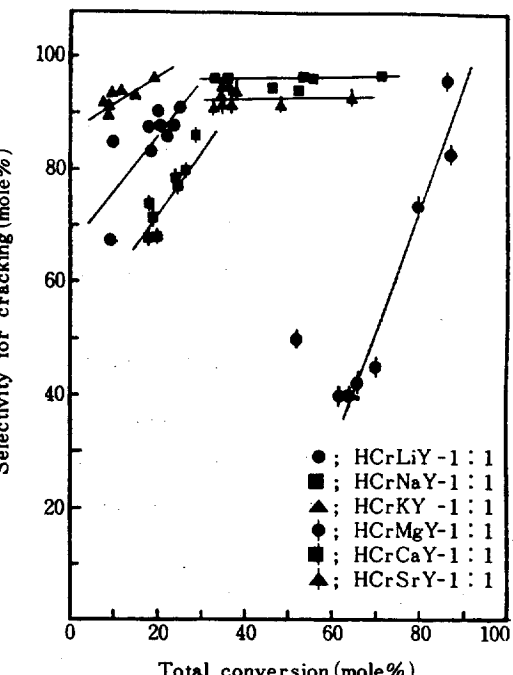


Fig. 6. Selectivity for cracking vs. total conversion on various catalysts.

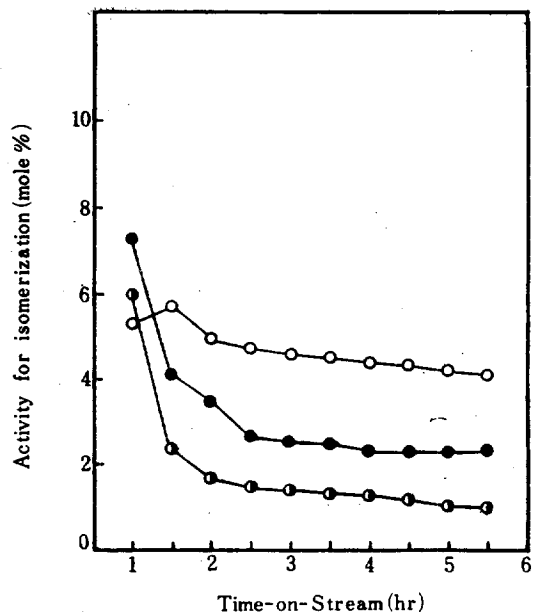
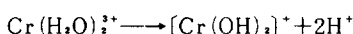


Fig. 7. Activity for isomerization vs. time-on-stream on HCrMgY, on HCrMgY-1:1(○), H(CrMg)Y-1:1(●), HMgCrY-1:1(◎) Zeolite Catalysts.

HCrMgY는 가장 낮은 크래킹의 選択性를 나타내고 있으며, HCrNaY가 가장 높은 選択性를 보이고 있다. 알칼리 土類 金屬으로 이온半径이 작을수록 크래킹의 選択性가 낮음을 알 수 있는데 이는 Fig. 3, Fig. 4에서 論議한 것과 同一하게 說明된다. Ciapetta[20]에 依하면 나트륨 이온의 添加는 異性質化反應을 為한 觸媒에 毒性을 미치며 이러한 觸媒는 主로 하이드로크래킹 反應에 活性이 있다고 하였다.

3 - 3. 主成分과 助觸媒의 담지順序가 異性質化收率에 미치는 影響

助觸媒로 마그네슘을 選択性하여 담지順序에 따른 收率의 變化가 Fig. 7에 나타나 있으며 $\text{HCrMgY} > \text{H}(\text{CrMg})\text{Y} > \text{HMgCrY}$ 의 順으로 異性質化의活性이 減少하는 傾向을 보이고 있다. 여기서 HCrMgY, H(CrMg)Y, 및 HMgCrY는 각각 Cr 담지後 Mg 담지, Cr과 Mg의 同時 담지, Mg 담지後 Cr 담지한 觸媒를 뜻한다. HCrMgY가 가장 높은 異性質化의活性을 보이는 것은, 이온半径이 작은 크롬이 먼저 담지되고 큰 마그네슘이 나중에 담지됨으로써 表面積이 커지고 細孔을 막는 比率이 가장 낮아 反應에 必要한活性点을 더 많이 形成하기 때문인 것으로 생각하며, HMgCrY가 H(CrMg)Y보다 더 낮은 異性質化의活性을 보이는 것은 이온半radius이 큰 마그네슘이 먼저 담지되어 細孔을 막는 比率이 커지고 따라서 表面積이 減少되기 때문이고, 또한 크롬이 나중에 담지됨으로써 異性質化를 為해活性이 큰 크롬이 적게 담지되기 때문으로 생각한다. 한 個의 Cr^{3+} 이 온은 제올라이트內에서 다음의 메카니즘으로 두 個의 proton을 生成하여 酸点을 形成한다[21].



3 - 4. 助觸媒의 담지量이 異性質化收率에 미치는 影響

助觸媒인 마그네슘을 主成分인 크롬과의 比率을 變化시켜 收率의 變化를 觀察하였는데, Fig. 8에서 보면 마그네슘의 담지量이 2, 4, 6 mole%로 增加함에 따라 異性質化의活性이 增加하고 있으나 마그네슘의 담지量이 8mole%일 때는 오히려活性이 減少하고 있다. 이것은 助觸媒인 마그네슘의 담지量이 增加함에 따라 마그네슘이 助觸媒役割의 限

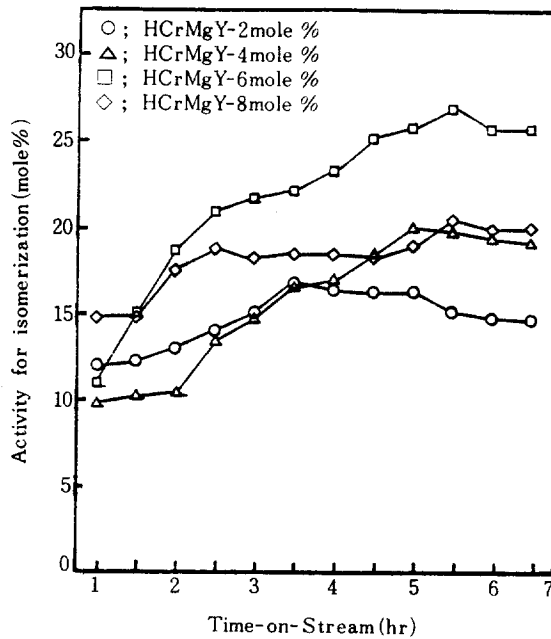


Fig. 8. Activity for isomerization vs. time-on-stream on various catalysts.

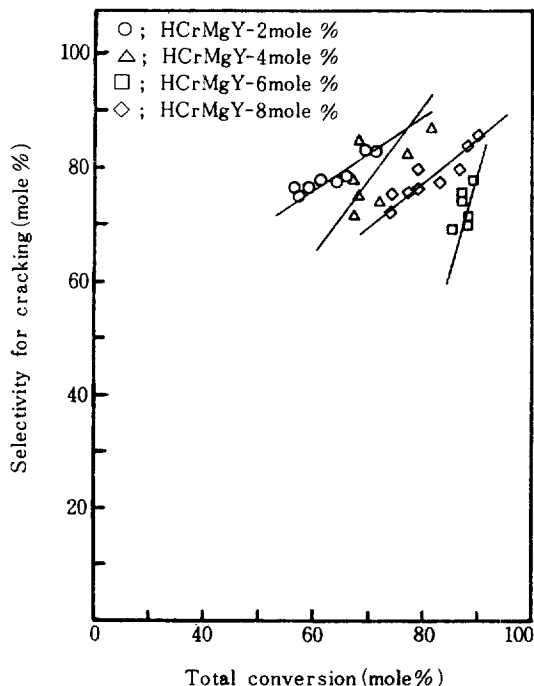


Fig. 9. Selectivity for cracking vs. total conversion on various catalysts.

界를 넘어 主成分인 크롬이 갖고 있는 異性質化의活性을 低下시키는 稀釈剤로서 作用하기 때문일 것으로 생각한다[22]. Fig. 8에서 HCrMgY-6mole% Mg觸媒가 最大 27%의 活性을 보이고 있는데, 이것은 日本 特許[4]의 20%, HCrY-세울라이트[9]의 21%보다 높은 活性을 나타내고 있어 注目할 만하다. Fig. 9에서 크래킹의 選択度에 미치는 여러가지 觸媒의 影響을 살펴보면 HCrMgY-6mole% Mg가 가장 낮은 크래킹의 選択度를 보이고 있어 좋은 觸媒임을 알 수 있는데 이는 Mg이 6mole% 담지되었을 때 觸媒의 電子密度가 最大로 되기 때문으로 생각된다. Kelly와 Ternan에 依하면, 코오크 生成에 对한 反應 메카니즘은 觸媒의 電子密度와 깊은 関係가 있으며, 電子密度가 충수록 코오크 生成을 為한 吸着種과 觸媒와의 結合이 弱화되어 코오크 生成量을 減少시킨다고 報告하고 있다[7].

4. 結論

1. 活性을 增加시키고 非活性화를 減少시키기 為하여 使用한 助觸媒로서의 Li, Na, K, Mg, Ca, Sr中에서 Mg이 가장 좋은活性을 보였고 觸媒의 非活性화도 크게 減少시켰다.

2. 담지方法에 있어서는 HY-세울라이트에 主成分인 크롬을 먼저 담지시키고 助觸媒인 마그네슘을 나중에 담지시키는 方法이 가장 높은活性을 보였다.

3. 담지量에 있어서는 主成分인 크롬에 对해 마그네슘이 6mole% 담지되었을 때 가장 좋은活性을 보여, 日本 特許 20%, HCrY-세울라이트 21%보다 6~7% 높은 27%의 收率을 보였다.

Reference

- Kirk-Othmer: Encyclopedia of Chem. Tech., 2nd ed., 22, 467 (1967).
- Morrison, R. A. and Woodbury, N. J. :US Patent, 3,856,872 (1974).
- Sonoda, T. and Sugai, K. :France Patent, 2,211,423 (1972).
- 重康素夫 :特許公報, 49-46296, 日本 (1974).
- Shring, F. J., Venkatadri, R and Goodwin, J. G., Jr. :Can. J. Chem. Eng., 61, 218 (1983).
- Vankatachalam, K. A. :J. Sc. Ind. Res., 31, 192 (1972).
- Kelly, J. F. and Ternan, M. :Can. J. Chem. Eng., 57, 726 (1979).
- Maatman, R. W., et al. :J. Catal., 7, 1 (1967).
- Kang, W. K. and Lee, H.-I. :J. KIChE., 21, 221 (1983).
- Röbschläger, K. H. and Christoffel, E. G. :Ind. Eng. Chem. Prod. Res. Dev., 18, 347 (1979).
- Röbschläger, K. H. and Christoffel, E. G. :Can. J. Chem. Eng., 58, 517 (1980).
- Christoffel, E. G. and Paál, Z. :J. Catal., 73, 30 (1982).
- Gendy, T. S. and Pratt, K. C. :Chem. Eng. Sci., 37, 37 (1982).
- Ward, J. W. :J. Catal., 11, 251 (1968).
- Ward, J. W. :ibid., 10, 34 (1968).
- Ward, J. W. :ibid., 26, 470 (1968).
- Appleby, W. G., et al. :Ind. Eng. Chem. Prod. Res. Dev., 1, 102 (1962).
- Basila, M. R., et al. :J. Phys. Chem., 68, 3197 (1964).
- Satterfield, C. N. : "Heterogeneous Catalysis in Practice," McGraw-Hill, New York, NY pp. 174-177 (1980).
- Ciappetta, F. G. :Ind. Eng. Chem., 45, 162 (1953).
- Agudo, A. L., et al. :Can. J. Chem. Eng., 60, 50 (1982).
- Szabo, Z. G., Kallo, D. : "Contact Catalysis," Vol. II, Elsevier, Amsterdam pp. 60-61 (1976).